

# Исследование задачи Ридса-Шеппа методами геометрической теории управления

Исполнитель: Кузьмин С.С.  
Руководитель: Ардентов А.А.

«Современные методы теории информации, оптимизации и управления»

Направление «Геометрическая теория управления»

Университет «Сириус», Сочи-2020

## Постановка задачи

Проект посвящён рассмотрению задачи быстродействия ( $T \rightarrow \min$ ) на группе движения плоскости:

$$SE(2) = \{q = (x, y, \theta) \in \mathbb{R}_{x,y}^2 \times S_\theta^1\}$$

со следующей управляемой системой:

$$\begin{cases} \dot{x} = u_1 \cos \theta, \\ \dot{y} = u_1 \sin \theta, \\ \dot{\theta} = u_2, \end{cases}$$

и краевыми условиями:

$$\begin{cases} q(0) = q_0 = (x_0, y_0, \theta_0), \\ q(T) = q_1 = (x_1, y_1, \theta_1). \end{cases}$$

Дополнительно накладываются ограничения на управление  $u = (u_1, u_2)$ :

$$|u_1| = 1, \quad |u_2| \leq \frac{1}{R}, \quad R > 0.$$

## Мотивировка исследования

Построение оптимальных траекторий и соответствующих им управлений для задачи Ридса-Шеппа хорошо изучено и является решённой задачей. Однако, интерес вызывает изучение данной задачи методами геометрической задачи управления, в частности, с использованием принципа максимума Понтрягина и исследования получаемой из него гамильтоновой системы и фазового портрета.

## История задачи

- ▶ В 1889 году Марков рассмотрел родственную задачу, в которой возможно всего два варианта: дуга окружности и отрезок прямой либо две дуги окружностей. А. А. Марков. Несколько примеров решения особого рода задач о наибольших и наименьших величинах, *Сообщ. Харьков. матем. общ.* 2-я сер., 1:2 (1889), с. 250–276.
- ▶ В 1957 году Дубинс рассмотрел аналогичную модель, в которой фиксирован конечный угол. L. E. Dubins. *On curves of minimal length with a constraint on average curvature, and with prescribed initial and terminal positions and tangents*, *American Journal of Math.*, 79:3 (1957), pp. 497–516.
- ▶ Первое решение этой задачи получено в работе J. A. Reeds III, L. A. Shepp. *Optimal paths for a car that goes both forwards and backwards*, *Pacific J. Math.*, 145:2 (1990), pp. 367–393. Оптимальная траектория может состоять из 48 вариантов конкатенации дуг окружностей и отрезков прямых линий.
- ▶ В работе H. J. Sussmann, G. Tang. *Shortest paths for the Reeds-Shepp car: a worked out example of the use of geometric techniques in nonlinear optimal control*, Report SYCON-91-10, *SYCON*, 1991, 72 pp. показано, что достаточно рассмотреть только 46 вариантов.

## Полученные результаты

- ▶ Показана глобальная управляемость управляемой системы
- ▶ Исследован фазовый портрет вертикальной подсистемы гамильтоновой системы, получаемой из принципа максимума Понтрягина
- ▶ Найдены экстремальные траектории с помощью фазового портрета
- ▶ Изучены дискретные и непрерывные симметрии задачи
- ▶ Условие задачи редуцировано по непрерывным симметриям

## Исследование глобальной управляемости

$$\dot{q} = u_1 X_1 + u_2 X_2,$$

$$X_1 = \cos \theta \frac{\partial}{\partial x} + \sin \theta \frac{\partial}{\partial y}, \quad X_2 = \frac{\partial}{\partial y}.$$

Под *управляемой системой*  $\mathcal{F}$  на многообразии  $M$  будем понимать любое множество векторных полей  $\mathcal{F} \subset \text{Vec}(M)$ :

$$\mathcal{F} = \{u_1 X_1 + u_2 X_2\}.$$

# Исследование глобальной управляемости

## Теорема (Рашевский-Чжоу)

Пусть  $\mathcal{F} \subset \text{Vec}(M)$ , многообразие  $M$  связно, и

$$\text{Lie}_q(\mathcal{F}) = T_q(M), \quad q \in M.$$

Тогда  $O_q = M$  для любой  $q \in M$ .

Система  $\mathcal{F} \subset \text{Vec}(M)$ , удовлетворяющая этому свойству, называется *вполне неголономной (системой полного ранга)*.

## Следствие (Ранговое условие управляемости)

Если многообразии  $M$  связно, а система  $\mathcal{F} \subset \text{Vec}(M)$  симметрична и вполне неголономна, то она управляема на  $M$ .

## Исследование глобальной управляемости

$$\text{Lie}_q(X_1, X_2) = \text{span}(X_1(q), X_2(q), [X_1, X_2](q), [X_1, [X_1, X_2]](q), \dots).$$

$$X_1(q) = \begin{pmatrix} \cos \theta \\ \sin \theta \\ 0 \end{pmatrix}, \quad X_2(q) = \begin{pmatrix} 0 \\ 0 \\ 1 \end{pmatrix}, \quad X_3(q) = \begin{pmatrix} \sin \theta \\ -\cos \theta \\ 0 \end{pmatrix}.$$

$$\det(X_1(q), X_2(q), X_3(q)) = \begin{vmatrix} \cos \theta & 0 & \sin \theta \\ \sin \theta & 0 & -\cos \theta \\ 0 & 1 & 0 \end{vmatrix} = \cos^2 \theta + \sin^2 \theta = 1 \neq 0.$$

$X_1(q)$ ,  $X_2(q)$  и  $X_3(q)$  - линейно-независимые векторы  $\Rightarrow \text{Lie}_q(\mathcal{F}) = T_q M$ .

Система симметрична  $\mathcal{F} = -\mathcal{F}$ , следовательно, имеет место глобальная управляемость.



## Принцип максимума Понтрягина

$$H(p, q, u) = \langle p, u_1 X_1(q) + u_2 X_2(q) \rangle = u_1(p_1 \cos \theta + p_2 \sin \theta) + u_2 p_3,$$

$$\begin{cases} \dot{p}_1 = -\frac{\partial H}{\partial x} = 0, \\ \dot{p}_2 = -\frac{\partial H}{\partial y} = 0, \\ \dot{p}_3 = -\frac{\partial H}{\partial \theta} = u_1(p_1 \sin \theta - p_2 \cos \theta). \end{cases}$$

Согласно принципу максимума Понтрягина, для экстремальных траекторий управление  $u = (u_1, u_2)$  необходимо выбрать таким, чтобы:

$$\max_{u \in U} H(p(t), \bar{q}(t), u(t)) = H(p(t), \bar{q}(t), \bar{u}(t)),$$

где  $\bar{u}(t)$  - экстремальное управление, а  $\bar{q}(t)$  - закон движения по экстремальной траектории.

## Экстремальное управление

Траектории будут экстремальными при следующем выборе управлений  $(u_1, u_2)$ :

$$\begin{cases} u_1(t) = \operatorname{sgn}_1(p_1(t) \cos \theta(t) + p_2(t) \sin \theta(t)), \\ u_2(t) = \frac{1}{R} \operatorname{sgn}_2(p_3(t)), \end{cases}$$

где функции  $\operatorname{sgn}_1(x)$  и  $\operatorname{sgn}_2(x)$  определяются следующим образом:

$$\operatorname{sgn}_1(x) = \begin{cases} 1, & x > 0; \\ -1, & x < 0; \\ \{-1, 1\}, & x = 0. \end{cases} \quad \operatorname{sgn}_2(x) = \begin{cases} 1, & x > 0; \\ -1, & x < 0; \\ [-1, 1], & x = 0. \end{cases}$$

## Фазовый портрет

Введём переменную  $\theta' = \theta - \bar{\theta}$ , где  $\bar{\theta}$  определяется из условия  $p_1 \sin \theta - p_2 \cos \theta = 0$ , то есть  $\bar{\theta} = \operatorname{arctg} \frac{p_2}{p_1}$ .

$$\begin{cases} \dot{\theta}' = u_2, \\ \dot{p}_3 = u_1 \sqrt{p_1^2 + p_2^2} \sin \theta' = u_1 p \sin \theta', \\ u_1 = \operatorname{sgn}_1(\sqrt{p_1^2 + p_2^2} \cos \theta') = \operatorname{sgn}_1(p \cos \theta'), \\ u_2 = \frac{1}{R} \operatorname{sgn}_2(p_3), \end{cases}$$

где  $p = \sqrt{p_1^2 + p_2^2}$ .

# Фазовый портрет

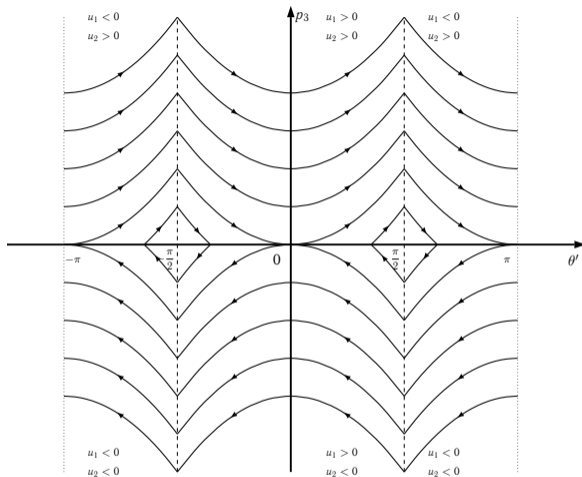


Рисунок 1: Фазовый портрет вертикальной подсистемы гамильтоновой системы на плоскости  $(\theta', p_3)$  для случая  $p \neq 0$ .

## Экстремальные траектории

1). Начальная точка лежит в области

$$\{(\theta', p_3) \mid \theta' \in \left(-\frac{\pi}{2}, \frac{\pi}{2}\right), |p_3| < pR(1 - \cos \theta')\}:$$

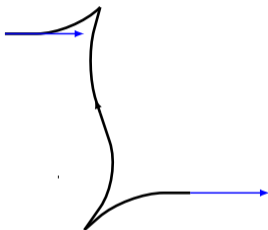


Рисунок 2: Экстремальная траектория на полном периоде  $T = 4\varphi R$  для случая 1).

Траектория состоит из одинаковых кусочков дуг окружностей радиуса  $R$ . Период движения равен  $T = 4\varphi R$ , при этом происходят смещения координат  $\Delta x = -4R(1 - \cos \varphi) \sin \varphi$  и  $\Delta y = 4R(1 - \cos \varphi) \cos \varphi$ .

## Экстремальные траектории

2). Начальная точка лежит на кривой

$$\{(\theta', p_3) \mid \theta' \in \left(-\frac{\pi}{2}, \frac{\pi}{2}\right), |p_3| = pR(1 - \cos \theta')\}:$$

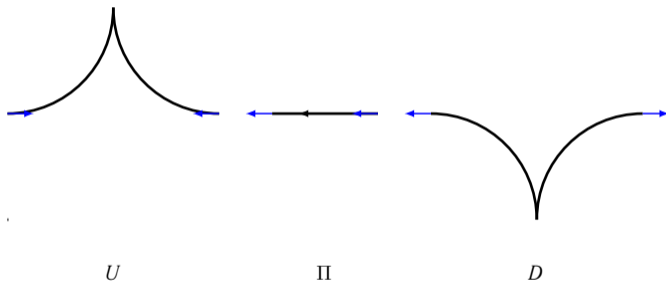


Рисунок 3: Составные элементы  $U$ ,  $\Pi$ ,  $D$  экстремальных траектории для случая 2).

## Экстремальные траектории

3). Начальная точка лежит в области

$$\{(\theta', p_3) \mid \theta' \in \left(-\frac{\pi}{2}, \frac{\pi}{2}\right), |p_3| > pR(1 - \cos \theta')\}:$$

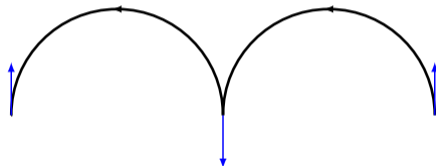


Рисунок 4: Экстремальная траектория для случая 3).

4). Также нужно рассмотреть отдельно случай, когда  $p_1 = p_2 = p = 0$ .

## Дискретные симметрии задачи

- ▶  $\varepsilon_1$ : Отражение относительно оси  $p_3$  ◦ Инверсия времени:  
 $(\theta', p_3, t) \longrightarrow (-\theta', p_3, -t)$ .
- ▶  $\varepsilon_2$ : Отражение относительно оси  $\theta'$  ◦ Инверсия времени:  
 $(\theta', p_3, t) \longrightarrow (\theta', -p_3, -t)$ .
- ▶  $\varepsilon_3$ : Отражение относительно оси  $\theta' = \frac{\pi}{2}$  ◦ Инверсия времени:  
 $(\theta' - \frac{\pi}{2}, p_3, t) \longrightarrow (\frac{\pi}{2} - \theta', p_3, -t)$ .
- ▶  $\varepsilon_4$ : Инверсия относительно точки  $(0, 0)$ :  $(\theta', p_3, t) \longrightarrow (-\theta', -p_3, t)$ .
- ▶  $\varepsilon_5$ : Инверсия относительно точки  $(\frac{\pi}{2}, 0)$ :  $(\theta' - \frac{\pi}{2}, p_3, t) \longrightarrow (\frac{\pi}{2} - \theta', -p_3, t)$ .
- ▶  $\varepsilon_6$ : Отражение относительно оси  $\theta'$  ◦ Инверсия времени ◦ Параллельный перенос по  $\theta'$  на  $-\pi$ :  $(\theta', p_3, t) \longrightarrow (\theta' - \pi, -p_3, -t)$ .
- ▶  $\varepsilon_7$ : Параллельный перенос по  $\theta'$  на  $-\pi$ :  $(\theta', p_3, t) \longrightarrow (\theta' - \pi, p_3, t)$ .



## Дискретные симметрии задачи

Пусть  $\varepsilon_0 = \text{Id}$ . Рассмотрим множество преобразований

$G = \{\varepsilon_0, \varepsilon_1, \varepsilon_2, \varepsilon_3, \varepsilon_4, \varepsilon_5, \varepsilon_6, \varepsilon_7\}$ . Покажем, что  $\varepsilon_i \circ \varepsilon_j$  также принадлежит множеству  $G$ . Закон композиции преобразований из  $G$  в таблицу с учётом  $2\pi$ -периодичности фазового портрета и экстремальных управлений.

$\varepsilon_0$	$\varepsilon_1$	$\varepsilon_2$	$\varepsilon_3$	$\varepsilon_4$	$\varepsilon_5$	$\varepsilon_6$	$\varepsilon_7$
$\varepsilon_1$	$\varepsilon_0$	$\varepsilon_4$	$\varepsilon_7$	$\varepsilon_2$	$\varepsilon_6$	$\varepsilon_5$	$\varepsilon_3$
$\varepsilon_2$	$\varepsilon_4$	$\varepsilon_0$	$\varepsilon_5$	$\varepsilon_1$	$\varepsilon_3$	$\varepsilon_7$	$\varepsilon_6$
$\varepsilon_3$	$\varepsilon_7$	$\varepsilon_5$	$\varepsilon_0$	$\varepsilon_6$	$\varepsilon_2$	$\varepsilon_4$	$\varepsilon_1$
$\varepsilon_4$	$\varepsilon_2$	$\varepsilon_1$	$\varepsilon_6$	$\varepsilon_0$	$\varepsilon_7$	$\varepsilon_3$	$\varepsilon_5$
$\varepsilon_5$	$\varepsilon_6$	$\varepsilon_3$	$\varepsilon_2$	$\varepsilon_7$	$\varepsilon_0$	$\varepsilon_1$	$\varepsilon_4$
$\varepsilon_6$	$\varepsilon_5$	$\varepsilon_7$	$\varepsilon_4$	$\varepsilon_3$	$\varepsilon_1$	$\varepsilon_0$	$\varepsilon_2$
$\varepsilon_7$	$\varepsilon_3$	$\varepsilon_6$	$\varepsilon_1$	$\varepsilon_5$	$\varepsilon_4$	$\varepsilon_2$	$\varepsilon_0$

Итак, множество  $G$  замкнуто относительно композиции преобразований.

## Непрерывные симметрии задачи

1). *Параллельный перенос системы координат на вектор  $\Delta\vec{r} = (a, b)$ :*

$$\begin{pmatrix} x' \\ y' \\ \theta' \end{pmatrix} = \begin{pmatrix} x \\ y \\ \theta \end{pmatrix} - \begin{pmatrix} a \\ b \\ 0 \end{pmatrix}.$$

2). *Поворот вокруг начала системы координат на угол  $\varphi$  против часовой стрелки:*

$$\begin{pmatrix} x' \\ y' \end{pmatrix} = \begin{pmatrix} \cos \varphi & \sin \varphi \\ -\sin \varphi & \cos \varphi \end{pmatrix} \begin{pmatrix} x \\ y \end{pmatrix}, \quad \theta' = \theta - \varphi.$$

3). *Изменение пространственного и временного масштаба:*

$$\begin{pmatrix} x' \\ y' \\ t' \end{pmatrix} = \mu \begin{pmatrix} x \\ y \\ t \end{pmatrix}, \quad u'_1(t') = u_1(t), \quad u'_2(t') = \frac{1}{\mu} u_2(t).$$

## Редуцирование условий задачи

Используя непрерывные симметрии можно уменьшить число независимых параметров с 7  $(x_0, y_0, \theta_0, x_1, y_1, \theta_1, R)$  до 3:  $(x_1, y_1, \theta_1)$ .

$$\begin{cases} x' = \frac{1}{R}(x - x_0) \cos \theta_0 + \frac{1}{R}(y - y_0) \sin \theta_0, \\ y' = -\frac{1}{R}(x - x_0) \sin \theta_0 + \frac{1}{R}(y - y_0) \cos \theta_0, \\ \theta' = \theta - \theta_0, \\ t' = \frac{1}{R}t. \end{cases}$$

## Редуцирование условий задачи

После редуцирования задача переписывается таким образом:

$$\left\{ \begin{array}{l} \dot{x}' = u'_1 \cos \theta, \\ \dot{y}' = u'_1 \sin \theta, \\ \dot{\theta}' = u'_2, \\ q'(0) = q'_0 = (0, 0, 0), \\ q'(T') = q'_1 = (x'_1, y'_1, \theta'_1), \\ |u'_1| = 1, \quad |u'_2| \leq 1, \\ T' \longrightarrow \min. \end{array} \right.$$

## Редуцирование условий задачи

Чтобы теперь получить решение исходной задачи, нужно применить к решению редуцированной задачи обратное преобразование:

$$\begin{cases} x = Rx' \cos \theta_0 - Ry' \sin \theta_0 + x_0, \\ y = Rx' \sin \theta_0 + Ry' \cos \theta_0 + y_0, \\ \theta = \theta' + \theta_0, \\ t = Rt'. \end{cases}$$

Оптимальное управление для исходной постановки задачи получается из постановки редуцированной задачи следующим образом:

$$\begin{cases} u_1(t) = u'_1(t'), \\ u_2(t) = \frac{1}{R} u'_2(t'). \end{cases}$$

Оптимальные траектории и оптимальное управление для задачи Ридса-Шеппа известно. Новизна нашего исследования заключается в новом подходе к отысканию экстремальных траекторий на основе применения принципа максимума Понтрягина и исследования фазового портрета вертикальной подсистемы гамильтоновой системы.

# Планы

- ▶ Исследовать найденные траектории на оптимальность
- ▶ Исследовать множество достижимости за определённое время
- ▶ Описать множество оптимальных управлений
- ▶ Описать оптимальный синтез задачи

СПАСИБО ЗА ВНИМАНИЕ!